

пылении вещества с поверхности. Этим можно объяснить спад кривой  $\delta$  (см. рисунок) при толщине слоев более  $2 \text{ мкг}/\text{см}^2$ .

При облучении слоев америция и плутония осколками деления от внешнего источника из общего количества атомов, собранных на сборниках, вычитались те атомы, перенос которых обусловлен  $\alpha$ -распадом в слоях. Результаты распыления слоев только осколками деления в пересчете на 10 мин сбора представлены кривой 1. Поток осколков на каждый слой за 10 мин составлял  $1,7 \cdot 10^7$ . Среднее значение коэффициента распыления при толщине слоев  $2-4 \text{ мкг}/\text{см}^2$  и более составляет для америция и плутония 500 и 750 атомов на осколок соответственно. При этом среднее отклонение от среднего значения в этой области составляет 30%, в то время как отдельные значения отличаются от среднего в два раза в ту и другую сторону.

### Обсуждение результатов

Данные по самораспылению тонких слоев из  $^{241}\text{Am}$  и  $^{238}\text{Pu}$  говорят о том, что основную роль в распылении вещества играют те ядра отдачи  $^{237}\text{Np}$  и  $^{234}\text{U}$ , которые образуются в результате  $\alpha$ -распада в этих слоях на глубине не более нескольких  $\text{мкг}/\text{см}^2$  от поверхности.

Небольшое и примерно равное значение средней толщины слоев, при которой скорости распыления вещества ядрами отдачи и осколками деления достигают насыщения, показывает, что распыление вещества идет с поверхностных слоев в обоих случаях, а разброс данных связан, по-видимому, со структурой поверхности этих слоев, в частности с их зернистостью. Однако следует отметить, что коэффициенты распыления для одних и тех же слоев при этом существенно различны ( $\sim 10$  атомов на ядро отдачи и  $\sim 10^3$  атомов на осколок), что, вероятно, указывает на различия в механизме распыления вещества этими частицами. Действительно, тяжелые ядра отдачи имеют энергию  $\sim 90 \text{ кэВ}$  и распыляют вещество благодаря механизму, в основе которого лежат упругие соударения с атомами вещества [4]. Осколки деления имеют кинетическую энергию 90 МэВ и в начале пути (рассматриваемый случай) тратят на упругие соударения десятые доли процента от энергии, идущей на ионизацию атомов вещества. Оценки, проведенные в соответствии с [5, 6], показывают, что в слое плутония толщиной  $2 \text{ мкг}/\text{см}^2$  ядро отдачи будет терять на упругие соударения несколько кэВ, а осколок деления — менее одного кэВ, распыляя при этом в 100 раз больше атомов, чем ядро отдачи. Следует отметить, что для распыления 1000 ато-

мов на преодоление только сил связи этих атомов необходимо затратить энергию не менее нескольких кэВ, т. е. значительно большую, чем тратят осколки на упругие соударения в слое плутония толщиной  $2 \text{ мкг}/\text{см}^2$ . Остается предположить, что эта энергия передается атомам вещества от осколков деления в меньшей степени через упругие соударения и в большей степени через ионизацию атомов вещества, потери на которую составляют для осколков деления в таком слое несколько десятков кэВ. Как уже отмечалось в [2], основным механизмом распыления вещества осколками деления, связанным с ионизационными потерями, мог бы быть или ионный взрыв, или тепловой электронный «пик» по крайней мере для первой трети пути. При этом в последнем случае, возможно, достаточно было бы учитывать лишь  $\delta$ -электроны, возникающие с малыми энергиями, но с большим сечением. Следует отметить, что толщина слоя первичного источника ( $2-4 \text{ мкг}/\text{см}^2$ ) оптимальна при изготовлении вторичных источников путем распыления вещества осколками деления, так как при дальнейшем увеличении толщины слоя не увеличивается коэффициент распыления. Рассматриваемым способом, по-видимому, невозможно изготавливать слои толще  $1,5-2 \text{ мкг}/\text{см}^2$  (в случае, если поток осколков падает на слой и на сборник) из-за обратного распыления вещества осколками деления со сборника и выравнивания скорости прямого и обратного распыления.

В заключение авторы выражают благодарность В. А. Яковлеву, В. А. Князеву, В. Е. Уланову, В. В. Обнорскому, Г. В. Соловьеву за помощь в работе.

Поступило в Редакцию 6/III 1973 г.  
В окончательной редакции 6/IX 1973 г.

### СПИСОК ЛИТЕРАТУРЫ

1. Pauker S., Steiger-Safir N. Nucl. Instrum. and Methods, 1971, v. 91, № 4, p. 557.
2. Александров Б. М. и др. «Атомная энергия», 1972, т. 33, вып. 4, с. 821.
3. Александров Б. М. и др. Тезисы XXII Совещания по ядерной спектроскопии и структуре ядра. Л., «Наука», 1972, с. 278.
4. Томпсон М. Дефекты и радиационные повреждения в металлах. М., «Мир», 1971.
5. Бор Н. Прохождение атомных частиц через вещество. М., Изд-во иностр. лит., 1950.
6. Lindhard J. Mat.-fys. medd. Kgl. danske vid. selskab, 1963, v. 33, № 14, p. 1-40.

## Некоторые особенности оптимальных переходных процессов при ограничении скорости изменения мощности реактора

ЗАРИЦКАЯ Т. С., РУДИК А. П.

Теория оптимизации ксеноновых и самариевых переходных процессов в ядерных реакторах подробно рассмотрена во многих работах [1, 2]. Существенным упрощением всех этих работ было предположение о возможности изменения мощности реактора скачком. Нами исследовались ксеноновые и самариевые переходные процессы с учетом ограничений на скорость

изменения мощности реактора методом принципа максимума Понträгина [3]. Были получены следующие результаты.

**Характер изменения управления.** Типичный вид оптимального управления в задачах без ограничения скорости изменения мощности, когда под управлением понимается сама мощность реактора  $W$ , характери-

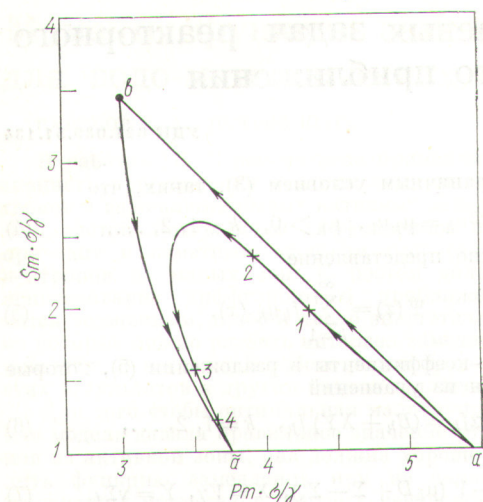


Рис. 1. Сравнение оптимальных траекторий:

$aba$  — без ограничений  $dW/dt$ ;  $a1234a$  — с ограничениями  $dW/dt$ .

зуется следующими тремя этапами: первый этап  $0 \leq t \leq t_1$ ,  $W(t) = 0$ ; второй этап  $t_1 \leq t \leq t_2$ ,  $W(t) = W_{\text{гр}}(t)$ , где  $W_{\text{гр}}(t)$  — заданная функция времени, обеспечивающая предельно допустимую концентрацию изотопа, сильно поглощающего нейтроны; третий этап  $t_2 \leq t \leq T$ ,  $W(t) = W_{\text{макс}}$ , где  $W_{\text{макс}}$  — максимально допустимая мощность реактора,  $T$  — не заданный конец периода оптимизации. Как видно, в этих задачах имеется четыре скачка мощности: при  $t = 0$  [с  $W_{\text{стаци}}(t < 0)$  на  $W(t > 0) = 0$ ],  $t = t_1$  и  $t = t_2$ , а также при  $t = T$ , когда с  $W_{\text{макс}}(t < T)$  на  $W_{\text{макс}}(t > T) = \text{const}$ . реактор переводится на  $W_{\text{макс}}(t > T) = \text{const}$ .

Показано, что в аналогичных по постановке оптимизационных задачах с ограничениями  $dW/dt$  характер оптимального управления изменяется следующим образом: вместо трехэтапного управления оптимальным является семиэтапное управление — в каждом месте разрыва  $W(t)$  вводится участок с максимально допустимым  $dW/dt$  нужного знака.

На рис. 1 приведен наиболее простой пример оптимального переходного самарийевого процесса, когда нет ограничений на концентрацию самария. Изображена фазовая плоскость концентрации \* прометия — самарий; требуется за минимальное время перевести реактор из точки  $a$  в точку  $\tilde{a}$ , а затем в точке  $\tilde{a}$  установить соответствующую ей стационарную мощность. Траектория  $aba$  соответствует случаю без ограничений  $dW/dt$ : первый этап  $ab$  —  $W(t) = 0$ ; второй этап  $b\tilde{a}$  —  $W(t) = W_{\text{макс}}$ . Траектория  $a1234a$  соответствует случаю с ограничением  $dW/dt$ : первый этап  $a1$  —  $\max(-dW/dt)$ ; второй этап  $12$  —  $W(t) = 0$ ; третий этап  $23$  —  $\max(dW/dt)$ ; четвертый этап  $34$  —  $W(t) = W_{\text{макс}}$ ; пятый этап  $4\tilde{a}$  —  $\max(-dW/dt)$ .

\* Концентрации прометия — самария нормированы на отношение  $\sigma/\gamma$ , где  $\sigma$  — сечение поглощения нейтронов в самарии;  $\gamma$  — выход прометия на одно деление.

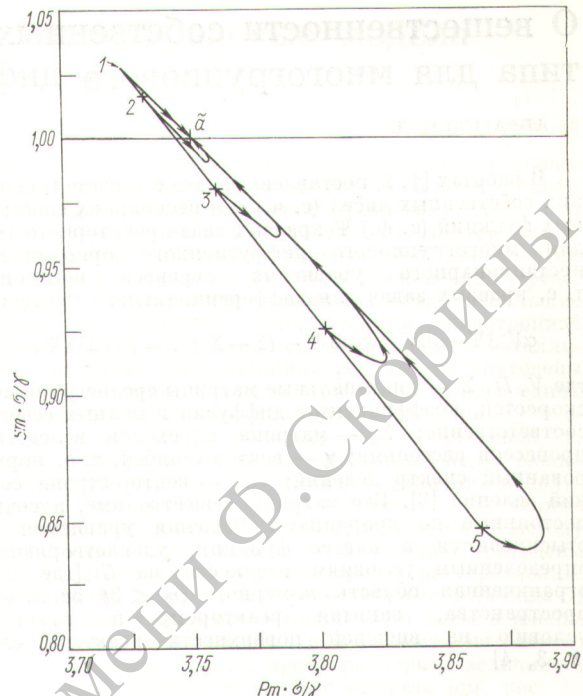


Рис. 2. Подход оптимальных траекторий к точке  $\tilde{a}$ . Траектории  $1\tilde{a}$ ,  $2\tilde{a}$ , ...,  $5\tilde{a}$  заканчиваются при мощностях  $W_{\text{стаци}}(\tilde{a})$ ,  $0,75 W_{\text{стаци}}(\tilde{a})$ ,  $0,5 W_{\text{стаци}}(\tilde{a})$ ,  $0,25 W_{\text{стаци}}(\tilde{a})$  и  $W = 0$  соответственно.

Хотя траектория  $a1234a$  находится внутри  $aba$ , однако время перевода реактора по первой траектории больше, чем по второй.

Характер подхода к точке  $\tilde{a}$ . В задачах без ограничения  $dW/dt$  траектория на фазовой плоскости прометия — самарий всегда подходит к равновесной точке  $\tilde{a}$  сверху. В задачах же с ограничением  $dW/dt$  подход к точке  $\tilde{a}$  зависит от величины  $\max(-dW/dt)$  и значения  $W(t > T)$ . На рис. 2 изображены траектории на участке  $4\tilde{a}$  при одном и том же значении  $\max(-dW/dt)$ , но при разных значениях  $W(t > T)$ .

В заключение следует отметить, что наличие ограничений  $dW/dt$  в некоторых случаях может привести к дополнительным усложнениям процесса оптимального управления, в частности, когда задано время перехода  $T$ .

Поступило в Редакцию 11/IV 1973 г.

#### СПИСОК ЛИТЕРАТУРЫ

1. Ash M. Shutdown Control of Nuclear Reactors. N.Y. — London, Academic Press, 1966.
2. Рудик А. П. Ядерные реакторы и принцип максимума Понтрягина. М., Атомиздат, 1971.
3. Понтрягин Л. С. и др. Математическая теория оптимальных процессов. М., Физматгиз, 1965.